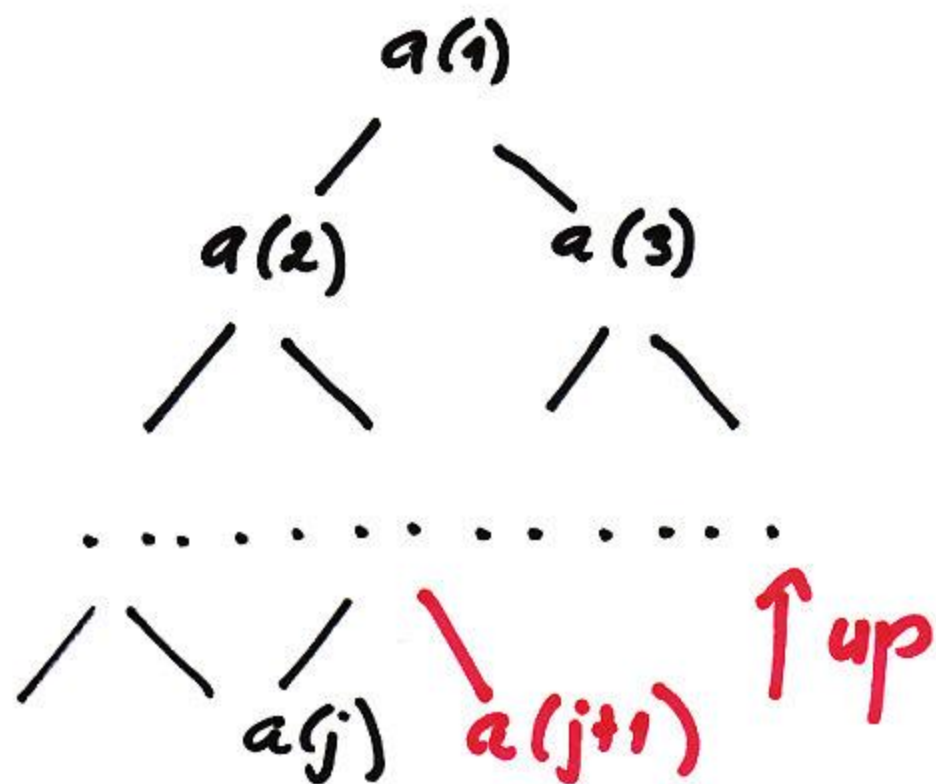


1) výstavba haldy - postupnými Inserty zdola

for $j=1$ to $n-1$ do Insert ($A, j, j+1$) enddo

Insert:



složitost: $n \log n$ porovnáni i výměn

2) trídění - $n \times$ Deletemin

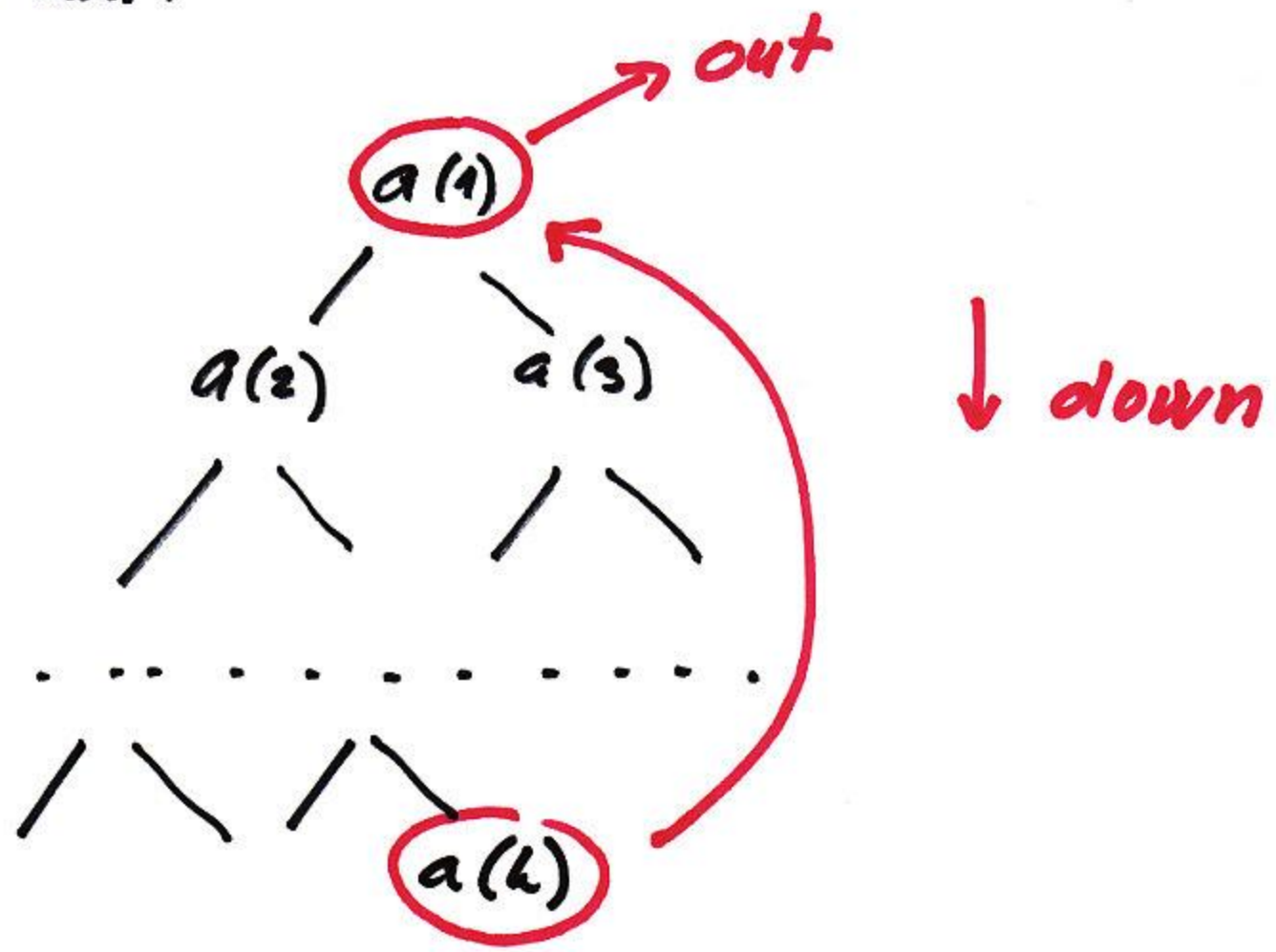
for $k:=n$ do while 1 do

out := $a(1)$, $a(1) := a(k)$

uprav haldu

enddo

Deletemin:



Složitost: $2n \log n$ porovnání
 $n \log n$ výměn

celkem Heapsort: $3n \log n$ porovnání
 $2n \log n$ výměn

(v nejhorším případě)

průměrný případ - výstavba haldy: $O(n)$

netřídí na místě

Floyd (1964) - Treesort 3

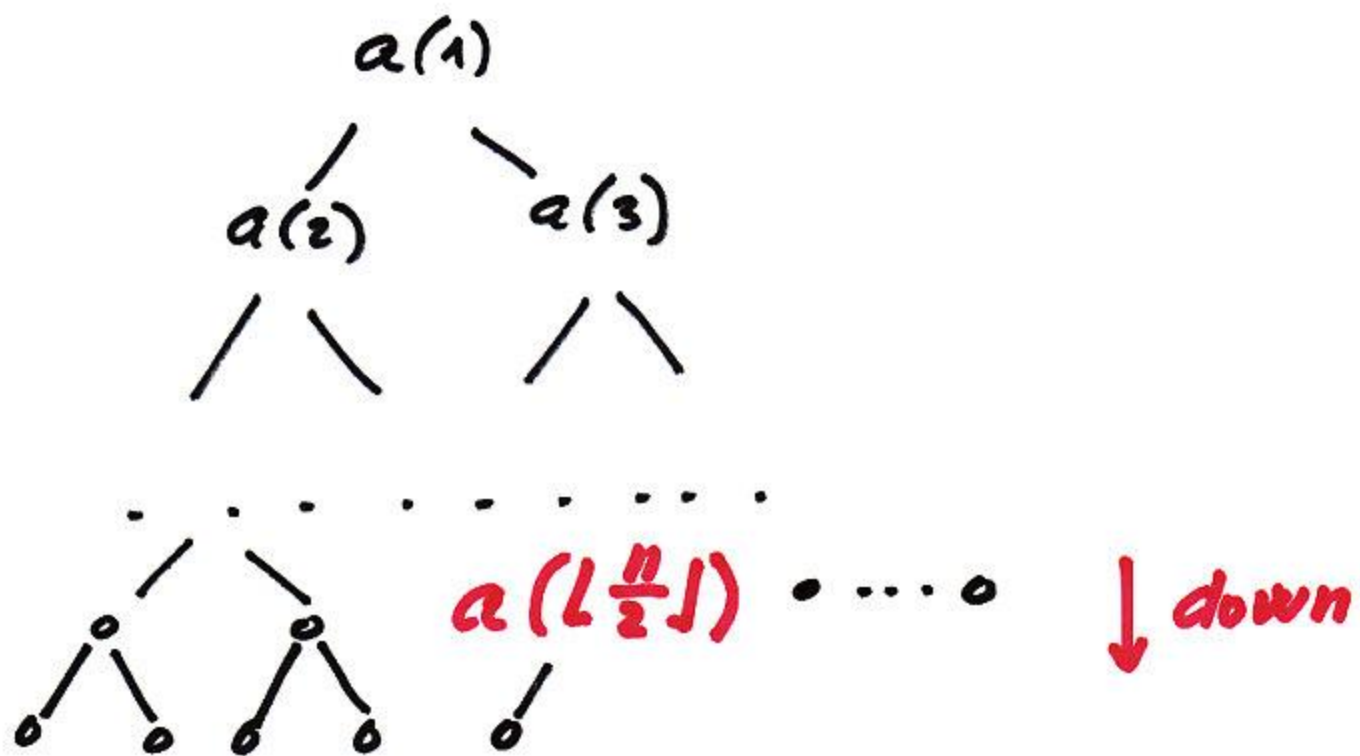
binární max-halda reprezentovaná polem

1) výstavba haldy - "propadením"

for $i := \lfloor \frac{n}{2} \rfloor$ downto 1 do

down $a(i)$

enddo



složitost: $O(n)$

Dk:

v hloubce i je 2^i prvků

podají maximálně $0 \leq k-1-i$

$k = \lfloor \log n \rfloor + 1$ je výška haldy

počet porovnání:

$$\sum_{i=0}^{k-2} 2(k-1-i)2^i = 2(k-1) \sum_{i=0}^{k-2} 2^i - 2 \sum_{i=0}^{k-2} i2^i =$$

$$= 2^{k+1} - 2(k+1) \sim 2n - 2 \log n$$

počet výměn - polovičení

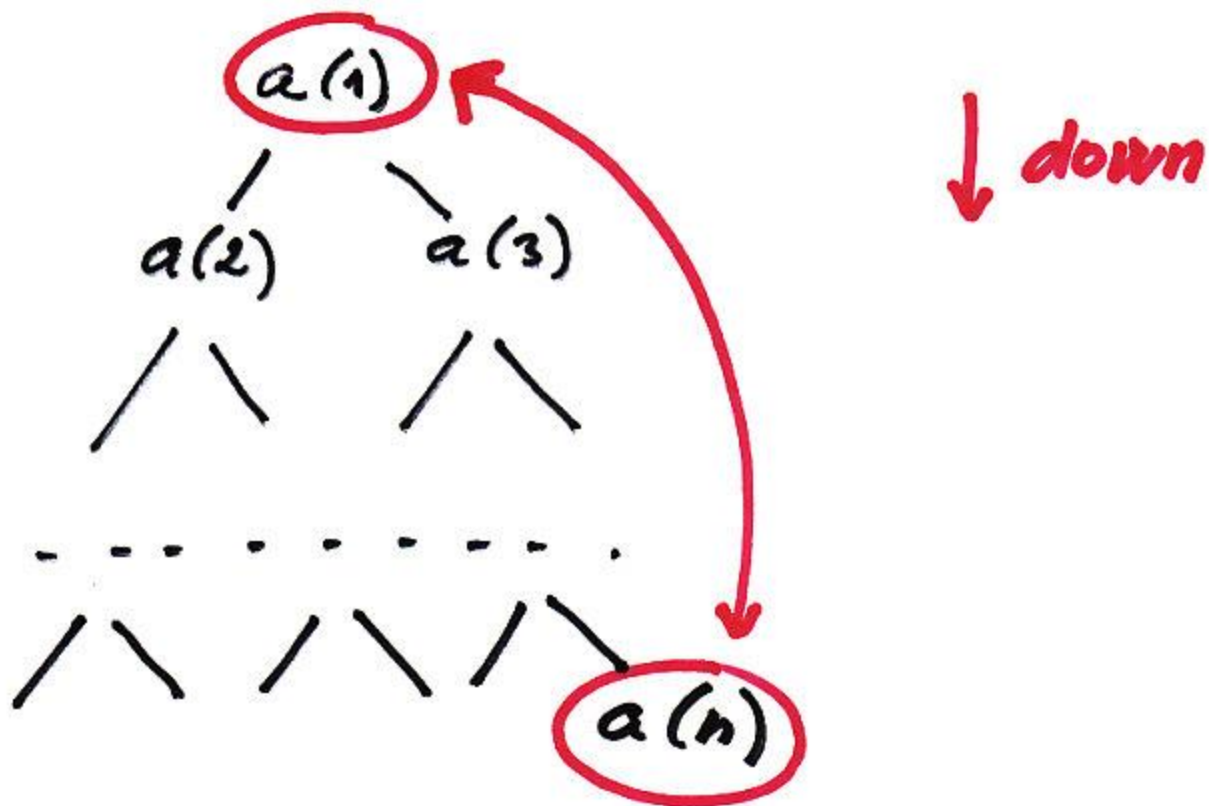
2) trídění - $n \times$ Deletemax

for $k := n$ downto 2 do

vyměň $a(1)$ s $a(k)$

uprav haldu

enddo



Složitost: $2n \log n$ porovnání
 $n \log n$ výměn

celkem: $2n \log n + O(n)$ porovnání
 $n \log n + O(n)$ výměn

trídí na místě

porovnání, když je v heapsortu použita t -nární halda. Nejprve předpokládejte přímé zobecnění programu 9.7 a pak předpokládejme, že Floydova metoda může ve smyčce ušetřit jednu operaci.

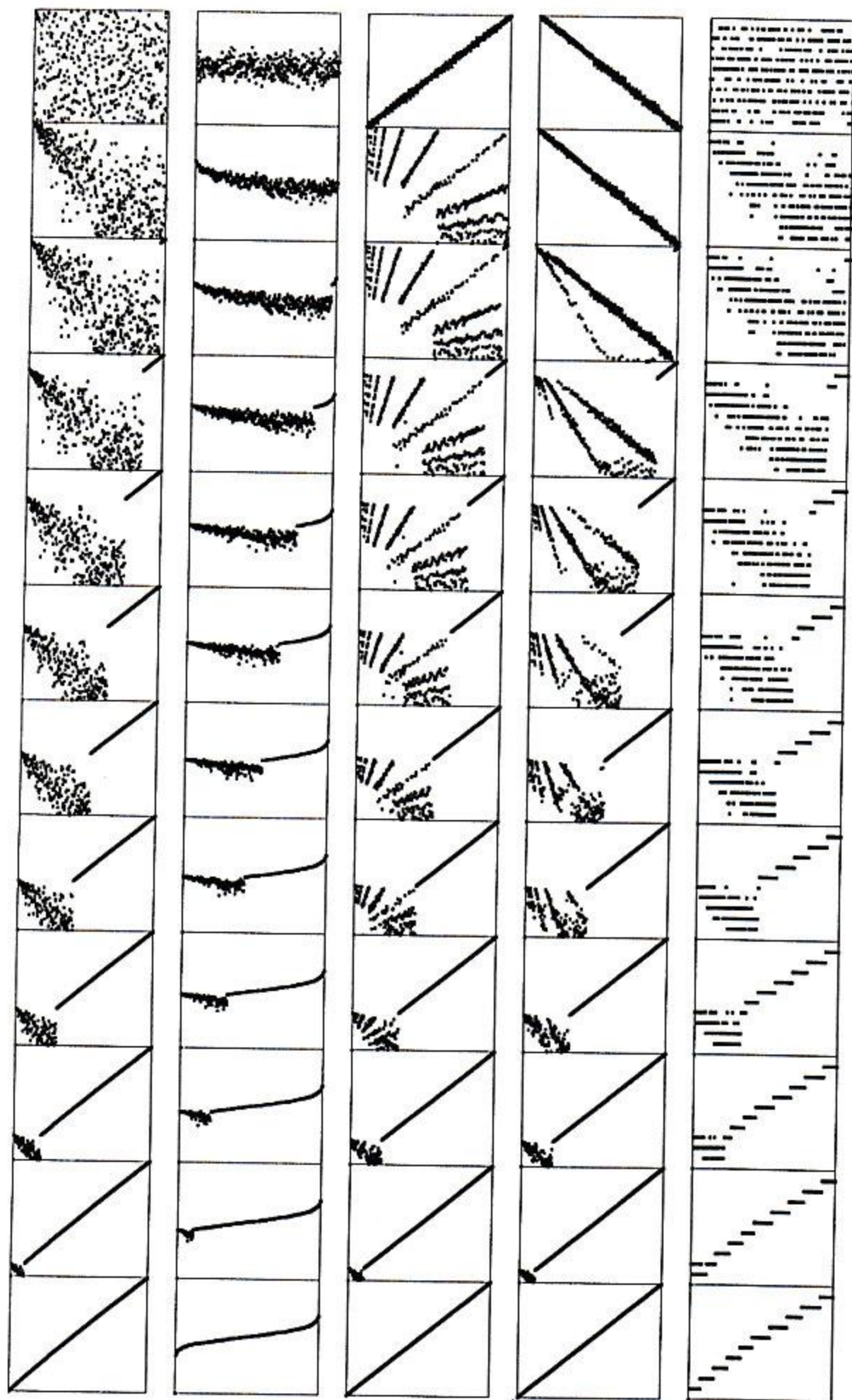


Diagram 9.12
Dynamické charakteristiky heapsortu pro různé typy souborů

Doba běhu heapsortu není nijak mimořádně citlivá na vstup. Bez ohledu na to, jaké jsou vstupní hodnoty, je největší prvek nalezen během méně než $\lg N$ kroků. Horní diagramy ukazují soubory, jež jsou náhodné, gausiánské, téměř uspořádané, téměř reverzně uspořádané a náhodně uspořádané (nahore, zleva doprava). Druhý diagram seshora ukazuje vytvoření haldy algoritmem zdola nahoru a zbývající diagramy ukazují pro každý soubor proces setřídování. Haldy tak či onak ještě odrážejí původní soubor, ale jak proces pokračuje, stávají spíše haldami pro náhodný soubor

- o 9.33 Pro $N = 32$ udejte uspořádání klíčů, jež přiměje heapsort použít tolik porovnání, kolik jen je možné.

Carlsson (1987) - bottom-up heapsort

Deletemax:

odstraň kořen, místo nech prázdné

while prázdné místo není v poslední hladině do

zaplně prázdné místo větším synem

enddo

prázdné místo := poslední prvek

up prázdné místo

poslední prvek := odstraněný kořen

složitost: $\log n$ porovnání a výměn směrem do
 $\log n$ — " — vx hůru

celkem $2 \log n$ porovnání i výměn

trídění - $n \times$ Deletemax

složitost: $2n \log n$ porovnání i výměn

bottom-up binary insertion heapsort

speciální cesta - cesta z kořene do listu po větších synech

speciální list - list, kde končí spec. cesta

Deletemax:

odstrañ kořen

najdi speciální list

najdi správnou pozici pro poslední prvek
na spec. cestě ze spec. listu do kořene

binárním vyhledáváním

odsuň prvky od správné pozice nahoru
o 1 místo směrem ke kořeni

správná pozice := poslední prvek

poslední prvek := odstraněný kořen

složitost : $\log n$ porovnání směrem dolů
 $\log \log n$ — n — vzhůru
 $\log n$ výměn

celkem na heapsort :
 $n (\log n + \log \log n)$ porovnání
 $n \log n$ výměn

Tento způsob úpravy haldy se používá
i při výstavbě haldy "propadáním".
Složitost : $O(n)$

Wegener (1990) - další verze této metody
bez binárního vyhledávání
 $1,5 n \log n + O(n)$ porovnání

Xunrang, Yuzhang (1990) - new heapsort

Delete max:

odstrañ kořen

prázdné místo nech propadnout do $\frac{2}{3}$ výšky haldy

prázdné místo := poslední prvek

bud' up prázdné místo

nebo down prázdné místo

poslední prvek := odstraněný kořen

počet porovnáni:

$$\frac{2}{3} \log n + \begin{cases} \frac{2}{3} \log n & \text{když } \underline{\text{up}} \\ 2 \cdot \frac{1}{3} \log n & \text{když } \underline{\text{down}} \end{cases} = \frac{4}{3} \log n$$

počet výměn (dělají se zároveň s porovnáními):

$$\frac{2}{3} \log n + \begin{cases} \frac{2}{3} \log n = \frac{4}{3} \log n & \text{když } \underline{\text{up}} \\ \frac{1}{3} \log n = \log n & \text{když } \underline{\text{down}} \end{cases}$$

volba $\frac{2}{3}$ je optimální

Gonnet, Munro (1986) - heapsort s rekurzi

Deletemax:

odstranit kořen

$$r = \lceil \log n - \log \log n \rceil$$

průzdné místo nech propadnout do hloubky r

průzdné místo := poslední prvek

buď up průzdné místo s binárním vyhled.

nebo rekurzivně Deletemax na holdu,

jejímž kořenem je průzdné místo

poslední prvek := odstraněný kořen

složitost (porovnání): $\log n + \log^* n$

iterovaný logaritmus: $\log^* n = 0$ pro $n \leq 1$

$$\log^* n = 1 + \log^*(\log n) \quad \text{pro } n > 1$$

celkem na heapsort: $n \log n + n \log^* n (+ O(n))$

Dk: $h = \text{výška haldy}$

$k = \text{hloubka, do které se prázdné místo
nechá propadnout}$

platí:

$$T(h) = \begin{cases} 2 & \text{pro } h=1 \\ \max(k + \log k, k + T(h-k) + 1) & \text{pro } h > 1 \end{cases}$$

$$k = h - \log h$$

$$\begin{aligned} T(h) &= \max(h, h - \log h + T(\log h) + 1) = \\ &= h - \log h + (\log h - \log \log h + T(\log \log h) + 1) + 1 = \\ &= h - \log \log h + T(\log \log h) + 1 + 1 = \\ &= h - \log \log h + (\log \log h - \log \log \log h + \\ &\quad + T(\log \log \log h) + 1) + 1 + 1 = \\ &= h - \log \log \log h + T(\log \log \log h) + 1 + 1 + 1 = \\ &\dots = h + \log^* h \end{aligned}$$

Jiná volba: $k = \frac{h}{2}$, lineární vyhledávání

$$T(h) = \begin{cases} 2 & \text{pro } h=1 \\ \max(2k, k + T(h-k) + 1) & \text{pro } h>1 \end{cases}$$

$$T(h) = \max\left(h, \frac{h}{2} + T\left(\frac{h}{2}\right) + 1\right) =$$

$$= \frac{h}{2} + \left(\frac{h}{4} + T\left(\frac{h}{4}\right) + 1\right) + 1 =$$

$$= \frac{h}{2} + \frac{h}{4} + \left(\frac{h}{8} + T\left(\frac{h}{8}\right) + 1\right) + 1 + 1 =$$

$$\dots = h \sum_{k=1}^{\log h} \left(\frac{1}{2}\right)^k + \log h \cdot 1 =$$

$$= h \left(1 - \frac{1}{h}\right) + \log h = h - 1 + \log h =$$

$$= \log n + \log \log n$$

stejně rychle jako bottom-up heapsort

s binárním vyhledáváním

Mc Diarmid, Reed (1989) - MDR - heapsort

používá pomocné bitové pole s hodnotami

$b(j) = \text{UNKNOWN}$ (vztah mezi syny vrcholu $a(j)$ je neznámý)

= LEFT (větší je levý syn)

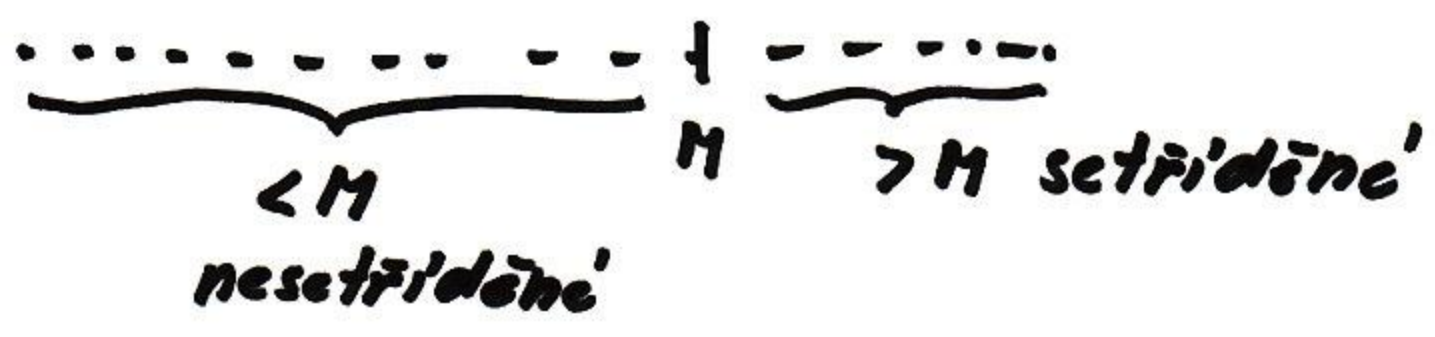
= RIGHT (větší je pravý syn)

drasticky snižuje počet porovnání

složitost: $(n+1)\log n + O(n)$ porovnání

Cantone, Cincotti (2000) - Quick Heapsort

- a) vybere se pivot M
- b) pole se rozdělí na prvky $> M$ (levá část)
 $< M$ (prava část)
- e) vezme se menší z obou částí
 je-li to levá část, provede se na ni
 Heapsort s max-haldou
 odebírané prvky se umísťují (vyměňují)
 na konec prava části
 (prava část analogicky)
- d) pivot se umístí na správné místo
- e) neseříděný zbytek pole se třídí rekurzivně

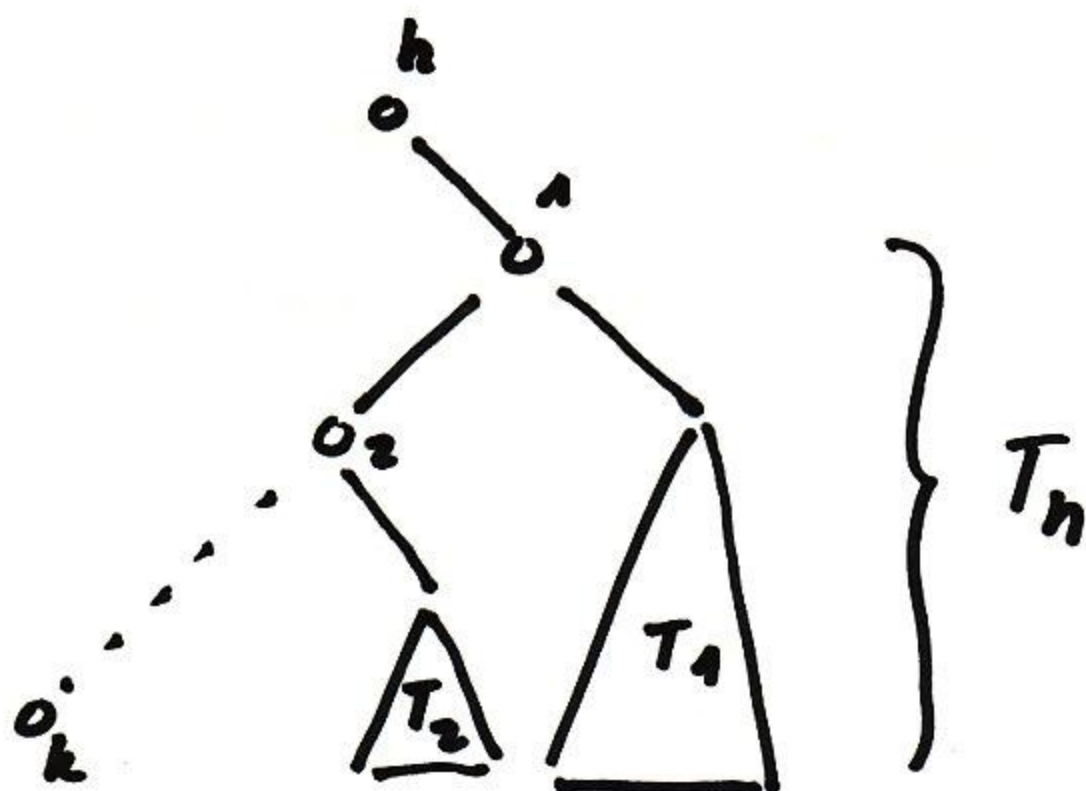


Dutton (1993) - weak heapsort

weak - haldá :

- 1) hodnota v jakémkoli uzlu je větší než hodnota v jakémkoli uzlu jeho pravého podstromu
- 2) kořen nemá levý podstrom
- 3) uzly s méně než 2 potomky jsou v posledních dvou hladinách

rekurzivní struktura :



princip algoritmu:

- 1) postavit haldy
- 2) odstranit kořen

T_n se rozpadne na les podhald T_1, \dots, T_k

zmerguji se do nové weak-haldy tak, že

max. z vrcholů $1, \dots, k$ bude kořen

formálně je to hodně komplikované

teoreticky velmi rychle

R. D. Dutton: Weak-heap sort, BIT 33 (1993), 372-381

WEAK-HEAP SORT

valued approximation is similar to that for the upper bound given in the proof of Theorem 4.1.

Simulation results are presented in the Table. For each n , identical sets of 20 randomly generated distinct values were given to each sorting routine. The second column, WHS, is the average number of comparisons required by WeakHeapSort. The third column, QSORT, reflects those of an implementation of Quicksort [5] which partitions with the middle of three randomly selected values. The fourth column, BUHS, is the data reported for Bottom-Up heapsort from [1]; the last column, MDRS, is the result of an implementation of Wegener's version of Bottom-Up heapsort [10]. The figures in parenthesis are the expected number of compares for each instance. For example, with WeakHeapSort, this is approximated by an upper bound of the average of the best and worst case number of compares as given above, i.e., $(n - 0.5)\log n - 0.413n$.

Table. Simulated numbers of compares.

n	WHS	QSORT	BUHS	MDRS
10	26(27)	28(23)	32(38)	31(33)
50	254(258)	260(231)	293(300)	283(284)
100	614(619)	624(574)	696(701)	669(669)
500	4247(4271)	4543(4211)	4650(4669)	4507(4506)
1000	9497(9547)	10142(9598)	10312(10338)	10032(10013)
5000	59222(59367)	64207(61731)	63309(63303)	61862(61678)
10000	128465(128740)	140570(135326)	136648(136607)	133719(133352)
50000	758835(759824)	850962(814483)	799741(799132)	785982(782857)

In [9], Wegener presents a formula (attributed to Kemp) resulting from an analysis of the expected number of compares for the version of Quicksort used here, that is approximately $1.188n \log(n - 1) - 2.255n + 1.188 \log(n - 1) + 2.507$. Our simulation, column QSORT, exceeds the formula values (given in parenthesis) consistently by 4-5%. Even then, when $n > 500$, the formula values are still greater than those observed for WeakHeapSort. The expected values for columns BUHS and MDRS were derived with the formulas $n \log n + 0.373n$ and $n \log n + 0.0475n$, respectively, and arise from using the midpoints of the expected ranges for $f(n)$ given in Section 1.

WeakHeapSort seems always to achieve the best case number of compares, $n \lceil \log n \rceil - 2^{\lceil \log n \rceil} + 1 < \log n - 0.913986n$, when the data are initially in ascending order. The reason for this is not yet understood, but one should not conclude that preprocessing the data will be beneficial since the difference between the best and worst case number of comparisons is at most $n - \lceil \log n \rceil - 1$. It is difficult to imagine preprocessing that would use fewer compares than this difference.

by using one bit to encode on which branch the smaller element can be found and another one to mark if this information is unknown.

Table 1 presents data of our c++-implementation of various performant sorting algorithms on some random sets of floating-point data. We have referenced the number of data comparisons, transpositions and assignments.

Comparisons	10	100	1000	10000	100000	1000000
QUICKSORT	30.56	729.10	11835.10	181168.63	2078845.53	25832231.18
CLEVER-QUICKSORT	28.86	649.36	10335.83	143148.86	1826008.56	22290868.50
BOTTOM-UP-HEAPSORT	32.43	694.76	10305.10	136513.60	1698272.06	20281364.60
MDR-HEAPSORT	30.76	656.43	9886.83	132316.06	1656365.03	19863064.60
WEAK-HEAPSORT	27.60	618.63	9513.40	128568.30	1618689.90	19487763.03
RELAXED-WEAK-HEAPSORT	25.00	573.00	8977.00	123617.00	1568929.00	18951425.00
GREEDY-WEAK-HEAPSORT	25.00	573.00	8977.00	123617.00	1568929.00	18951425.00
QUICK-HEAPSORT	29.86	781.83	11630.00	150083.96	1827962.60	22000593.93
QUICK-WEAK-HEAPSORT	28.43	660.90	10045.76	133404.13	1659777.23	20266957.30
CLEVER-HEAPSORT	29.70	727.73	11322.86	148107.30	1819264.86	21416210.80
CLEVER-WEAK-HEAPSORT	27.86	609.23	9418.96	128164.83	1614333.26	19602152.26

Exchanges	10	100	1000	10000	100000	1000000
QUICKSORT	9.36	161.00	2369.70	31501.43	391003.10	4668411.06
CLEVER-QUICKSORT	8.53	165.33	2434.03	32294.80	401730.13	4803056.93
BOTTOM-UP-HEAPSORT	9.00	99.00	999.00	9999.00	99999.00	999999.00
MDR-HEAPSORT	9.00	99.00	999.00	9999.00	99999.00	999999.00
WEAK-HEAPSORT	15.50	336.66	4969.70	65037.53	803705.33	9578990.20
RELAXED-WEAK-HEAPSORT	22.76	412.06	5800.13	75001.40	915744.06	10790844.36
GREEDY-WEAK-HEAPSORT	20.00	357.30	5187.33	69255.83	856861.66	10177597.60
QUICK-HEAPSORT	7.63	72.20	670.80	6727.60	65321.76	696398.30
QUICK-WEAK-HEAPSORT	13.46	313.00	4990.66	66929.90	838173.16	9985011.30
CLEVER-HEAPSORT	7.46	70.70	661.00	6478.16	64919.86	652938.26
CLEVER-WEAK-HEAPSORT	14.53	326.66	5071.36	67578.40	842446.46	10066407.13

Assignments	10	100	1000	10000	100000	1000000
QUICKSORT	6.33	66.00	666.70	6670.86	66651.43	666649.50
CLEVER-QUICKSORT	4.33	46.26	462.20	4571.30	45745.93	457071.86
BOTTOM-UP-HEAPSORT	43.86	781.66	11116.30	144606.73	1779038.73	21088698.53
MDR-HEAPSORT	43.50	769.00	10965.56	142759.63	1758266.06	20856586.16
WEAK-HEAPSORT	11.00	101.00	1001.00	10001.00	100001.00	1000001.00
RELAXED-WEAK-HEAPSORT	0.00	0.00	0.00	0.00	0.00	0.00
GREEDY-WEAK-HEAPSORT	5.20	126.80	1288.40	11649.73	118028.26	1226882.80
QUICK-HEAPSORT	32.93	693.70	10752.93	141534.50	1757454.76	20697840.96
QUICK-WEAK-HEAPSORT	4.46	11.46	18.90	25.30	33.26	42.76
CLEVER-HEAPSORT	30.16	716.70	10827.53	142134.60	1759835.10	20892687.56
CLEVER-WEAK-HEAPSORT	2.96	8.50	14.36	20.70	26.16	32.93

Table 1. Number of comparisons, exchanges, assignments of the different algorithms on random data averaged over 30 runs.

QuickHeapsort, an Efficient Mix of Classical Sorting Algorithms 161

n=	Integer $t_c = 0.05\mu\text{sec}, t_m = 0.06\mu\text{sec}$			Double $t_c = 0.05\mu\text{sec}, t_m = 0.07\mu\text{sec}$			cmp ₁ (Double) $t_c = 0.3\mu\text{sec}, t_m = 0.07\mu\text{sec}$		
	10 ⁴	10 ⁵	10 ⁶	10 ⁴	10 ⁵	10 ⁶	10 ⁴	10 ⁵	10 ⁶
H	0.05	0.75	12.37	0.10	1.40	20.35	0.14	1.96	27.28
BU	0.09	1.25	18.80	0.13	1.83	25.88	0.15	2.00	27.62
i-Q	0.04	0.40	4.81	0.07	0.80	9.74	0.10	1.25	15.10
Q	0.03	0.37	4.54	0.06	0.74	8.92	0.09	1.12	13.49
c-Q	0.03	0.33	4.08	0.05	0.69	8.34	0.08	0.99	11.99
QH	0.05	0.64	10.43	0.08	1.10	16.85	0.10	1.42	19.96
c-QH	0.04	0.65	10.48	0.08	1.11	16.92	0.10	1.38	20.05

n=	cmp ₁ (Integer) $t_c = 0.19\mu\text{sec}, t_m = 0.06\mu\text{sec}$			cmp ₂ (Integer) $t_c = 2.9\mu\text{sec}, t_m = 0.06\mu\text{sec}$			cmp ₃ (Integer) $t_c = 4.7\mu\text{sec}, t_m = 0.06\mu\text{sec}$		
	10 ⁴	10 ⁵	10 ⁶	10 ⁴	10 ⁵	10 ⁶	10 ⁴	10 ⁵	10 ⁶
H	0.10	1.35	19.16	0.54	7.04	88.29	1.00	12.92	159.66
BU	0.11	1.52	21.23	0.37	4.72	58.94	0.64	8.09	98.42
i-Q	0.07	0.85	10.12	0.42	5.44	64.96	0.79	10.24	120.69
Q	0.07	0.80	9.60	0.40	4.93	59.53	0.74	9.20	110.29
c-Q	0.05	0.68	8.30	0.35	4.42	53.82	0.64	8.22	99.24
QH	0.08	0.99	13.99	0.37	4.57	54.57	0.66	8.17	95.11
c-QH	0.07	0.98	13.98	0.34	4.22	52.15	0.61	7.63	91.58

Table 2. Average running times in seconds (sample size = 10).

Cache performance has considerably less influence on the behaviour of sorting algorithms than does paging performance (cf. [14], Chap. 8); for such reason, we believe that we can ignore completely possible negative effects due to caching.

Concerning virtual memory problems, i.e. demand paging, all Quicksort algorithms show good locality of reference, whereas Heapsort algorithms, and also QuickHeapsort algorithms, tend to use pages that contain the top of the heap heavily, and to use in a random manner pages that contain the bottom of the heap (cf. [14]). Such observation allows us to conclude that an execution of c-Q cannot be more penalized than an execution of c-QH by delays due to paging problems. Hence, we can reasonably conclude that the success of c-QH is not due to paging performance.

5. Conclusions

We presented QuickHeapsort, a new practical "in-place" sorting algorithm obtained by merging some characteristics of Bottom-Up-Heapsort and Quicksort. Both theoretical analysis and experimental tests confirm the merits of QuickHeapsort.

The experimental results obtained show that it is convenient to use clever-QuickHeapsort when the input size n is large enough and each key comparison operation is computationally expensive.

t_c ... čas na 1 porovnání

t_m ... čas na 1 výměnu (move)

5.2 Srovnání výsledků hlavní implementace

Řazení algoritmů v grafech odpovídá pořadí, v jakém jsou algoritmy uvedeny v kap. 3.

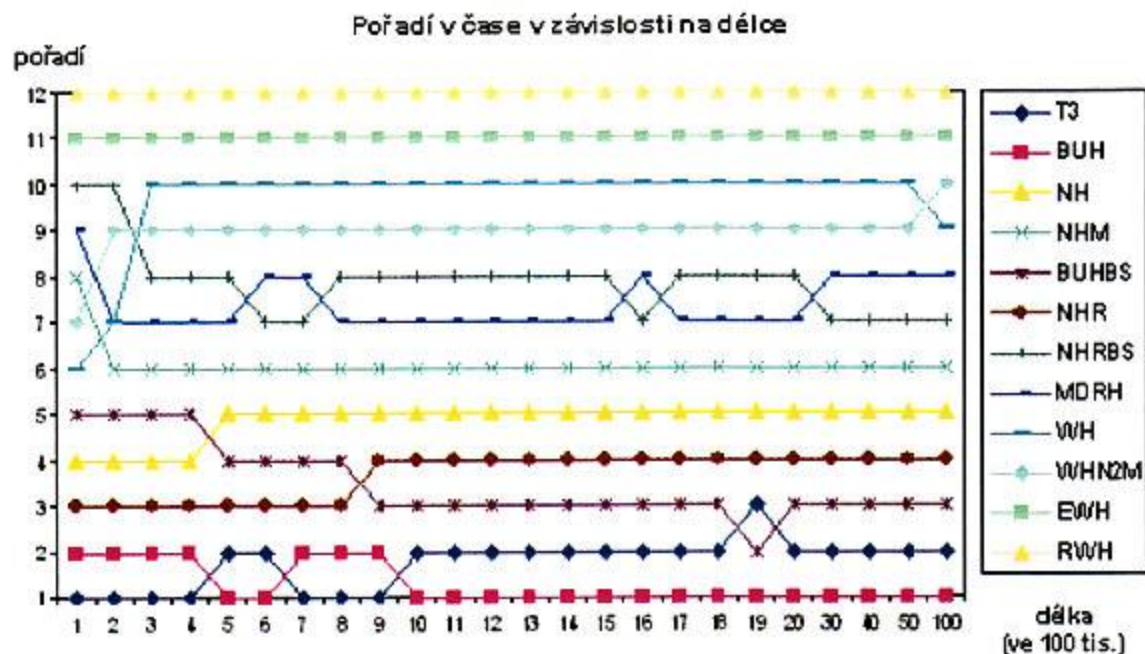
5.2.1 Porovnání algoritmů

Tabulka 5.2 zobrazuje pořadí jednotlivých algoritmů. Pořadí v čase je výsledkem porovnání pořadí podle průměrných časů algoritmů dosažených v každé z testovaných délek.

algoritmus	čas	porovnání
<i>T3</i>	2.	12.
<i>BUH</i>	1.	6.
<i>NH</i>	5.	11.
<i>NHM</i>	6.	7.
<i>BUHBS</i>	3.	8.
<i>NHR</i>	4.	9.
<i>NHRBS</i>	8.	10.
<i>MDRH</i>	7.	5.
<i>WH</i>	10.	4.
<i>WHN2M</i>	9.	3.
<i>EWH</i>	11.	1.
<i>RWH</i>	12.	1.

Tabulka 5.2: Pořadí v dosažených časech a počtech porovnání

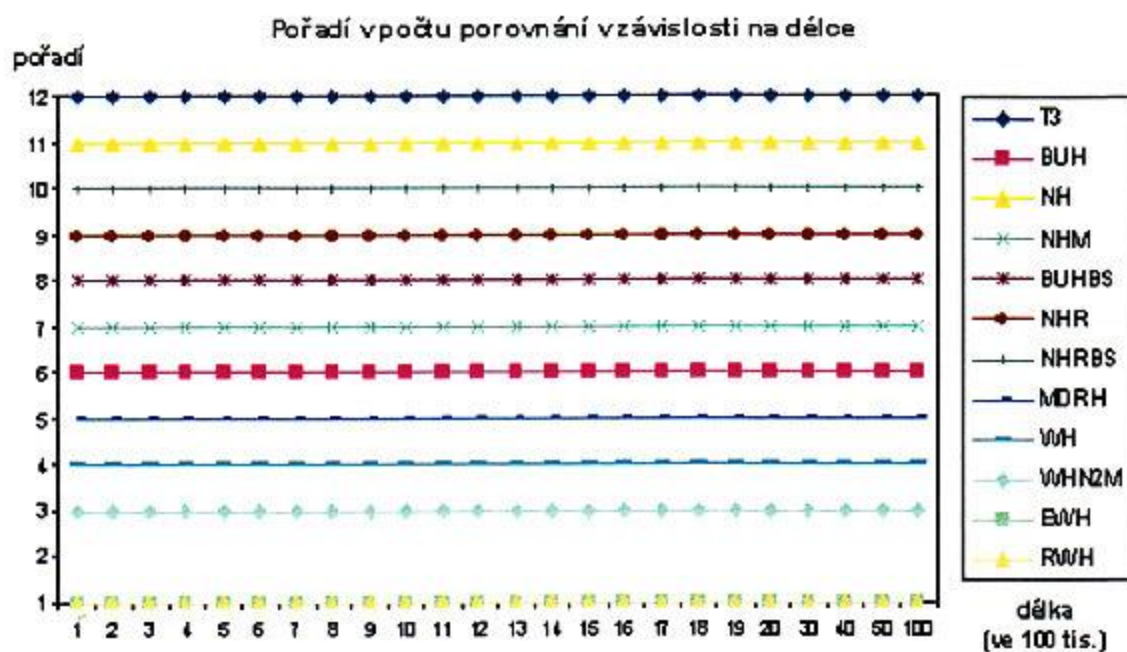
Z grafu 5.5 vidíme, že pořadí není neměnné, ale mění se v závislosti na délce testovaných posloupností.



Obrázek 5.5: Pořadí v průměrném čase v závislosti na délce

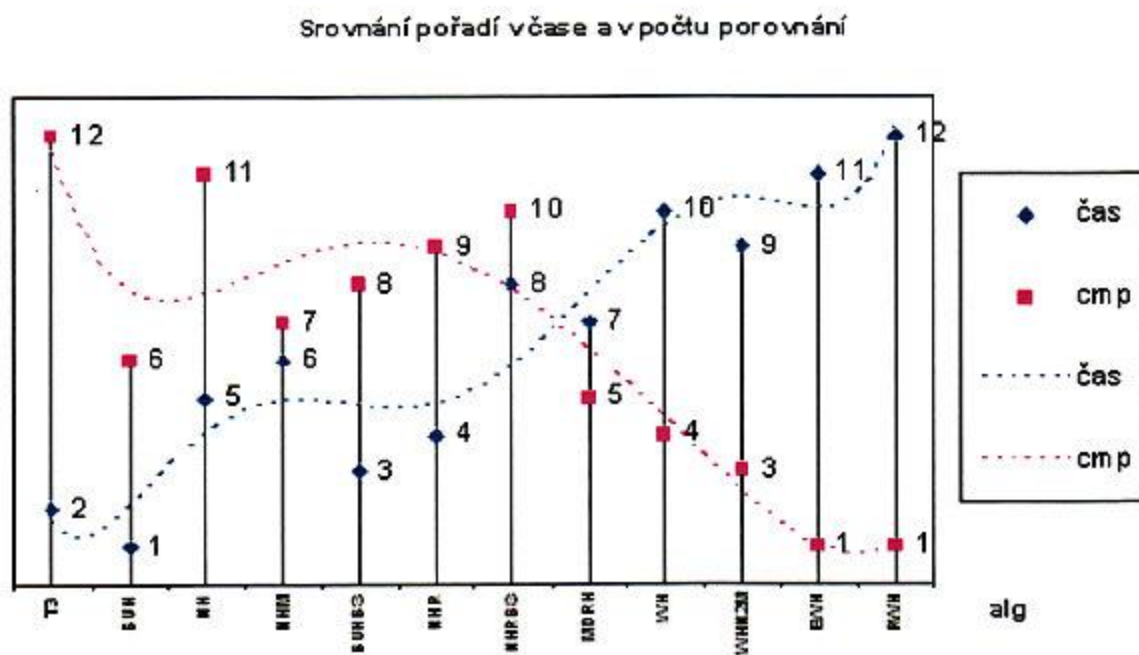
Jiná je situace u pořadí daného počtem porovnání, jak ho ukazuje graf 5.6. Pořadí je neměnné, nejnižšího počtu porovnání dosahují algoritmy *EWH* a *RWH*

(mají stejný počet porovnání), nejvyšší počet porovnání má *T3*.



Obrázek 5.6: Pořadí v průměrném počtu porovnání v závislosti na délce

Zajímavé je srovnání obou grafů, tedy porovnání pořadí každého z algoritmů z grafu 5.5 s pořadím z grafu 5.6. Srovnání vidíme na grafu 5.7. Pro názornost jsou hodnotami obou veličin proloženy křivky (polynomy šestého stupně). Pořadí v dosaženém čase je (pro každý algoritmus zvlášť) průměrem pořadí přes všechny testované délky posloupností. Z grafu můžeme vyvodit několik pozorování.

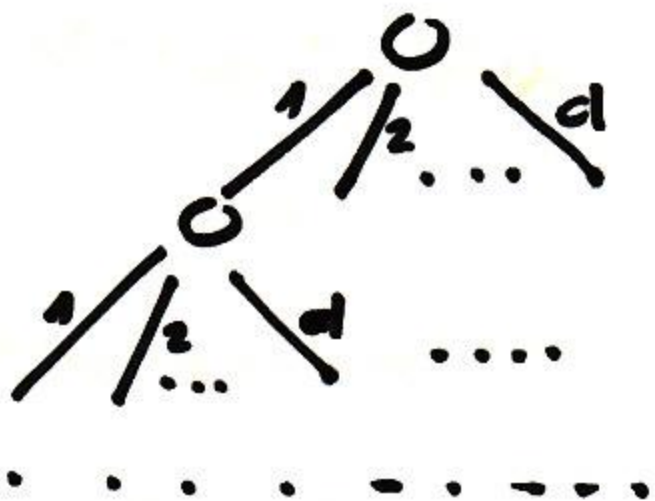


Obrázek 5.7: Srovnání pořadí v čase a v počtu porovnání

Za prvé vyniká kontrast u algoritmu *T3* – ačkoliv tento algoritmus potřebuje při třídění zdaleka nejvíce porovnání, patří zároveň k nejrychlejším. Tento algo-

Heapsort na víceregulárních haldách

$d = \text{stupeň regularity}$



Johnson (1975): 3 a 4 - regulární haldy jsou ve všech haldových operacích rychlejší než binární

Luk (1999):

$$\text{složitost Heapsortu } T(n) \leq \frac{(c_1 d + c_2) n \ln n}{\ln d}$$

$c_1 = \text{cena porovnání}$, $c_2 = \text{cena výměny}$

$d = 3$ je optimální, když $c_2 = 0$

$d = 4$ — " — $c_1 = c_2$

užití: externí třídění

třídění v hierarchické paměti

Očekávaná složitost

očekávaná složitost Insertu je $O(n)$

2,607 porovnání

posun o 1,607 hladin

Dobekort (1982):

očekávaná složitost Williams - Floydova

heapsortu je stejná jako nejhorší případ
(včetně konstant)

Heapsorty v průměru rychlejší než Quicksort

bottom-up heapsort

MDR-heapsort

Quick-heapsort

Weak-heapsort

týká se počtu porovnání

vyplácí se, když cena porovnání je vysoká

Složitost v nejlepší'm případě

Lavin (1975) :

hypotéza, že nejlepší' případ může být $O(n)$

Wirth (1976) :

nejlepší' jsou posloupnosti setříděné'
v opačném pořadí ?

skutečnost :

$O(n)$ pouze pro posloupnost, která'ma'
všechny prvky stejné'

jinak $O(n \log n)$ - asi 2x rychlejší' než
nejhorší' případ

Ding, Weiss (1992)

Bollobás, Fenner, Frieze (1996)

Heapsort není' adaptivní' na předtříděné'
posloupnosti